

Bild C1: Radialgitter (Siemenssterne) N-W, W-N, N-Z und W-Z; PS-Operator: *w*lin 1.0 exp setgray*

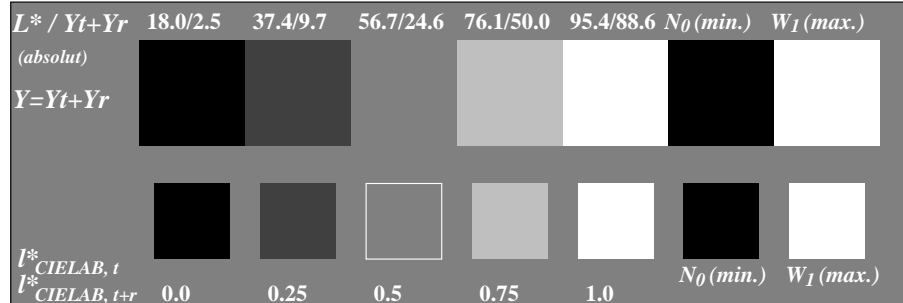


Bild C2: 5 visuell gleichabständige L^* -Graustufen + $N0 + W1$; PS-Operator: *w*lin 1.0 exp setgray*

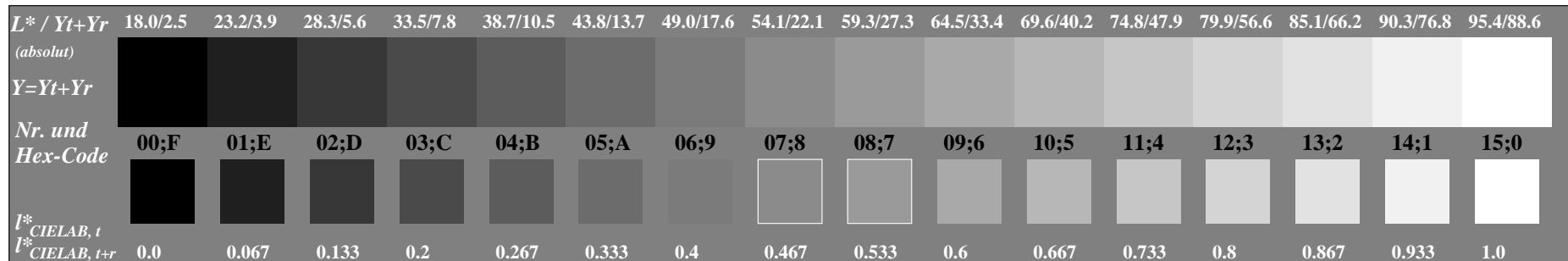


Bild C3: 16 visuell gleichabständige L^* -Graustufen; PS-Operator: *w*lin 1.0 exp setgray*

ISO/IEC-Prüfvorlage Nr. 3C nach

ISO/IEC 15775 und input: *w*lin 1.0 exp setgray*
DIS ISO/IEC 19839-X; output: *Startup (S) data dependend*

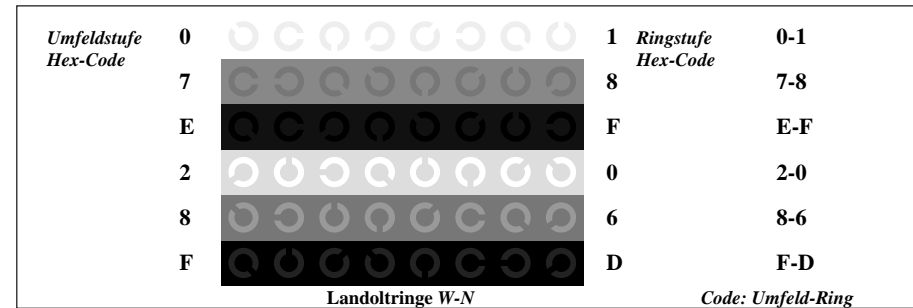


Bild C4: Landoltringe W-N; PS-Operator: *w*lin 1.0 exp setgray*

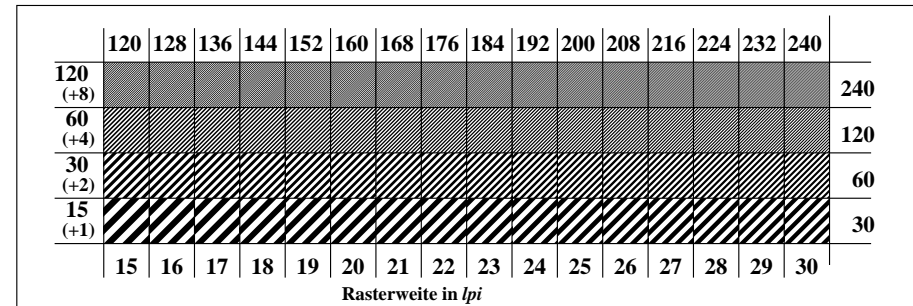


Bild C5: Linienraster unter 45° (oder 135°); PS-Operator: *w*lin 1.0 exp setgray*

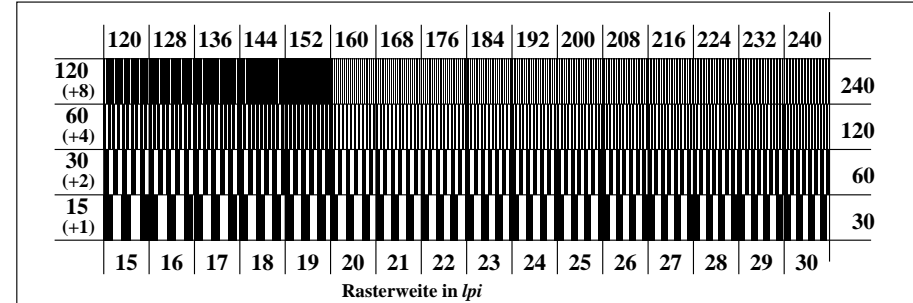


Bild C6: Linienraster unter 90° (oder 0°); PS-Operator: *w*lin 1.0 exp setgray*